

## کاربرد شبکه‌های هوش مصنوعی و استنتاج عصبی فازی تطبیقی برای تعیین محتوای رطوبتی برگ چای سبز براساس پارامترهای رنگی

محمد شهابی قویونلوی<sup>۱</sup>، شاهین رفیعی<sup>۲\*</sup>، سید سعید محتسبی<sup>۳</sup>، سلیمان حسین‌پور<sup>۴</sup>

۱، دانشجوی کارشناسی ارشد، پردیس کشاورزی و منابع طبیعی دانشگاه تهران

۲، استادان، پردیس کشاورزی و منابع طبیعی دانشگاه تهران

۳، دانش آموخته دوره دکتری، پردیس کشاورزی و منابع طبیعی دانشگاه تهران

(تاریخ دریافت: ۱۳۹۱/۳/۲۱ - تاریخ تصویب: ۱۳۹۲/۷/۱۶)

### چکیده

استفاده از پردازش تصویر و سامانه‌های هوش مصنوعی در زمینه کشاورزی و صنایع غذایی روز به روز بیشتر می‌شود. هدف از انجام این تحقیق، بررسی امکان استفاده از پردازش تصویر در پیش‌بینی روند تغییرات محتوای رطوبتی برگ‌های چای سبز در حین خشکشدن با استفاده از سامانه‌های پیش‌گویی شبکه عصبی مصنوعی و استنتاج فازی عصبی تطبیقی است. آزمایش‌های خشک‌کردن به روش لایه نازک و براساس عوامل مؤثر در خشکشدن در پنج دمای ۵۰، ۶۰، ۷۰ و ۸۰ درجه سلسیوس و سه سرعت جریان هوای ۰/۰۵، ۱، و ۱/۵ متر بر ثانیه انجام گرفت. نتایج حاصل از استخراج پارامترهای رنگی تصاویر برگرفته از نمای بالای نمونه‌ها، به عنوان داده‌های ورودی سامانه‌های هوش مصنوعی، برای تعیین محتوای رطوبتی آن‌ها به کار برده شد. در پایان، بهترین نتایج پیش‌بینی شبکه عصبی مصنوعی با دو لایه پنهان (شامل ۱۲ نرون در لایه اول و ۱۵ نرون در لایه دوم) با ضریب تعیین ۰/۹۴۸ و محدود میانگین مربعات خطای ۰/۰۹۲ گردید.

**کلیدواژگان:** پردازش تصویر، چای سبز، خشک‌کردن، هوش مصنوعی.

نیز است. تغییرات رنگ محصول در حین فرایند خشکشدن می‌تواند در فضاهای رنگی گوناگون بررسی شود و معیاری برای تعیین کیفیت قرار گیرد. یکی از مهم‌ترین قسمت‌های فرایند خشک‌کردن، پیش‌بینی تغییرات محتوای رطوبتی در طول دوره زمان است که معیاری برای ارزیابی کیفیت خشکشدن محصول و میزان مصرف انرژی است.

تعیین سینتیک خشکشدن نوعی غذای استفاده شده در کشورهای جنوبی آسیا با نام کاساواکراکرس با مدل‌های مکانیکی مانند: نیوتون، پیچ، اصلاح شده پیچ، و هندرسون و پابیس به وسیله Lertworasirikul در سال ۲۰۰۸ انجام پذیرفت و با مدل‌های پیش‌بینی در سامانه‌های هوش مصنوعی مانند: شبکه عصبی پیشخور چندلایه و سامانه استنتاج عصبی فازی تطبیقی (ANFIS) مقایسه گردید. با مقایسه مقادیر پارامترهای آماری برای هر یک از مدل‌ها، مدل MFNN با بیشترین مقدار ضریب تعیین ( $R^2$ ) و کمترین مقدار میانگین خطای مطلق (MAE) بین مقادیر آزمایشی و پیش‌بینی شده، بهترین مدل برای توصیف تغییر محتوای رطوبتی کاساواکراکرس در طول زمان خشکشدن شناخته شد.

نسبت خشکشدن انگور دانه‌دار با استفاده از شبکه عصبی مصنوعی پیشخور پیش‌بینی و میزان دقت این پیش‌گویی با

### مقدمه

قدمت بوته چای که محصول برگ‌های جوانه Camellia Sinensis است، به هزاران سال پیش در چین برمی‌گردد، به طوری که در ابتدای انسان استفاده‌ای نداشت و پس از مدتی به خواص دارویی آن پی‌برندند. کاربرد این گیاه در ایران به حدود صد سال قبل برمی‌گردد. مدل‌های استفاده از این گیاه به صورت‌های تخمیری (چای سیاه)، غیرتخمیری (چای سبز)، و نیمه تخمیری گزارش شده است (Najafi et al., 2006). براساس آمار ارائه شده وزارت جهاد کشاورزی، سطح زیر کشت چای در کشور نسبت به ۳۸ سال گذشته ۱۳ درصد رشد داشته است، در حالی که تولید میزان برگ سبز چای پیش از ۵ برابر شده است که این نشان‌دهنده افزایش تولید با کیفیت پایین است (Moj news agency, 2010). بنابراین، تحقیق درباره پارامترهای مؤثر در ارتقا کیفیت چای ضروری به نظر می‌رسد. رنگ، بهویژه در این نوع محصول که بازار پسندی محصول بیشتر از جانب رنگ آن است، از شاخص‌های مهم کیفیت مواد غذایی است، و نشانگر ویژگی‌های شیمیایی، بیوشیمیایی، و میکروبیولوژیکی محصول

رویکردی جدید، از سامانه استنتاج عصبی فازی نوع انفیس<sup>۱</sup> برای پیش‌بینی میزان دقیق رطوبت و چربی در گوشت سرخ شده شترمرغ استفاده شده است. تعیین محتوای رطوبتی نمونه‌های سرخ شده و همچنین مقدار چربی در نمونه خشک شده، براساس استاندارد AOAC (1990) انجام پذیرفت. محتوای رطوبت با قرارگرفتن نمونه‌ها در آون با دمای ۱۰۵ درجه سلسیوس و به مدت ۲۴ ساعت و تعیین میزان چربی در نمونه‌های خشک پودرشده نیز با استفاده از عصاره‌گیر سوکسله<sup>۲</sup> و حلال اتری صورت پذیرفت. نتایج پیش‌بینی میزان محتوای رطوبتی و چربی از طریق این سامانه به ترتیب با ضریب همبستگی ۰/۹۶ و ۰/۹۲ بدست آمد.

در زمینه استفاده از سامانه‌های هوش مصنوعی و روش‌های تجربی خشک کردن و پردازش روی تصاویر گرفته شده در حین خشک شدن محصولات کشاورزی به طور جدایانه تحقیقات زیادی صورت گرفته است، اما در استفاده از نتایج آنالیز تصویر به عنوان ورودی این سامانه‌ها در حوزه خشک کردن محصولات کشاورزی به منظور تعیین محتوای رطوبتی تحقیقات محدودی انجام گرفته است. از این رو هدف از این پژوهش، بررسی امکان استفاده از نتایج به دست آمده از پارامترهای رنگی در شبیه‌سازی سینتیک خشک شدن برگ‌های چای سیز در حین خشک شدن با استفاده از شبکه عصبی مصنوعی و استنتاج عصبی فازی تطبیقی و تعیین بهترین سامانه براساس میزان دقت پیش‌بینی تغییرات رطوبتی است.

## مواد و روش‌ها

**تهیه محصول اولیه:** برای شروع آزمایش، برگ‌های تازه چای سیز از مزارع واقع در شهر تنکابن تهیه گردید. با توجه به اینکه از تفاوت‌های مهم بین فرایندهای تولید چای سیاه و چای سبز، عملیات تخمیر است، باید به منظور جلوگیری از تخمیر، تعییر رنگ و پژمردگی محصول، زمان بین برداشت و خشک کردن محصول کوتاه شود.

**آزمایش‌های خشک کردن:** در این تحقیق، روش انجام آزمایش‌های خشک کردن به صورت لایه‌نمازک است که در این روش توده لایه نازک محصول، ضخامتی از محصول است که دما و رطوبت نسبی هوای خشک کننده در هنگام عبور از آن تغییر نمی‌کند (Jayas *et al.*, 1991). برای انجام آزمایش‌ها، از خشک کن لایه‌نمازک آزمایشگاهی ساخته شده در گروه مهندسی

مدل‌های رگرسیونی خطی و غیرخطی مقایسه شده است (Cakmak & Yildiz, 2011). در شبکه عصبی طراحی شده از سه متغیر ورودی: محتوای رطوبتی، تغییرات دمایی هوای گرم، نسبت جریان هوای گرم، و همچنین یک لایه پنهان استفاده شد و با استفاده از آزمون و خطا در تعیین تعداد نرون‌ها در لایه پنهان، سرانجام تعداد ۱۰ نرون انتخاب گردید.تابع آموزشی استفاده شده در این تحقیق از نوع تائزنت هیپربولیک سیگموئیدی با الگوریتم یادگیری لونبرگ - مارکوارت بود. ۴۰ درصد داده‌های آزمایشی به آموزش شبکه اختصاص داده شد. داده‌هایی که باقی ماندند، به طور مساوی برای تست و ارزیابی به کار برده شدند. داده‌های آموزشی با رگرسیون غیرخطی و داده‌های آزمایش نیز با هر دو نوع رگرسیون خطی و غیرخطی مدل شد. در پایان، با تعیین پارامترهای آماری شامل مقادیر<sup>۲</sup> RMSE و MAE، مدل شبکه عصبی طراحی شده نتایج دقیق‌تری داشت.

Mohebbi *et al.* (2007) از شبکه عصبی مصنوعی و پردازش تصویر در پیش‌بینی تغییرات محتوای رطوبتی می‌گویند حین خشک شدن استفاده نمودند. در این تحقیق، تصویربرداری به صورت آنلاین نبود و در هر بار تصویربرداری نمونه‌ها از دستگاه خشک کن خارج شدند و سپس مقادیر میانگین و واریانس پارامترهای رنگی مانند: L (روشنایی و تیرگی)، a (سبزی به قرمزی)، b (آبی به زردی) در بازه‌های زمانی ۱۵ دقیقه در حین خشک شدن برای دمایهای بین ۱۰۰ °C تا ۱۳۰ °C و با فواصل دمایی ۵ °C محاسبه و به عنوان ورودی شبکه عصبی مصنوعی به کار برده شدند. شبکه عصبی طراحی شده از نوع پیشخور با الگوریتم یادگیری پس انتشار خطأ با یک لایه پنهان و با تعداد پنج نرون بود و با درنظر گرفتن ۷۰ درصد داده‌ها به عنوان داده‌های آموزشی و ۳۰ درصد به عنوان تست و ارزیابی شبکه استفاده شدند. نتایج این تحقیق نشان داد که استفاده از تصویربرداری از محصول در حین خشک شدن و پردازش تصاویر، می‌تواند به عنوان راهکاری کم‌هزینه در تعیین کیفیت فرایند خشک شدن پیشنهاد گردد و از داده‌های به دست آمده می‌توان در طراحی سامانه هوشمند شبکه عصبی در پیش‌گویی سینتیک تغییرات محتوای رطوبتی محصول استفاده کرد.

Amiryousefi *et al.* (2011) سرعت تغییرات جرم گوشت شترمرغ ناشی از سرخ کردن با دستگاه مایکروویو را بررسی کردند. این تغییرات جرم، ناشی از بخارشدن آب موجود در چربی گوشت است. از آنجاکه رطوبت و چربی از شاخص‌های مهم در تعیین سلامت و طعم مطلوب غذاست، در این تحقیق با

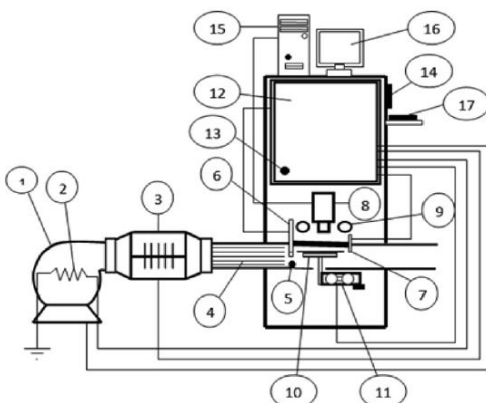
دستگاه خارج می شد و نمونه ها روی آن قرار می گرفت و سینی مجدها به دستگاه منتقل می گردید. خشک کردن تا زمان رسیدن رطوبت نمونه ها به حالت تعادل و ثابت ماندن وزن نمونه ها ادامه می یافتد. در پایان هر آزمایش، برگ های چای سبز در داخل آون در دمای ۱۰۵ درجه سلسیوس و به مدت ۲۴ ساعت به منظور به دست آوردن رطوبت نهایی، قرار داده شدند (AOAC, 1990). سرانجام، براساس رابطه ۱ نسبت های رطوبتی برای هر آزمایش تعیین گردید.

$$MR = \frac{M - M_e}{M_0 - M_e} \quad (رابطه ۱)$$

که در آن  $MR$ : نسبت رطوبت،  $M$ : رطوبت اولیه،  $M_e$ : رطوبت در لحظه جاری و  $M_0$ : رطوبت تعادلی است.

**عکس برداری، پردازش، و استخراج پارامترهای رنگی از تصاویر**  
در این تحقیق، از تصویربرداری همزمان با خشک شدن نمونه ها استفاده شده است. بدليل تمایل داشتن نمونه ها به رنگ سبز تیره و برای آسان کردن تفکیک نمونه ها از سینی، رنگ پیش زمینه که همان سینی قرار گیری نمونه ها بود، سفید در نظر گرفته شد. ارتباط دوربین با رایانه PC به کار گرفته شده، با پورت USB برقرار گردید و برای تعیین تعداد تصویربرداری و فاصله زمانی بین آن ها، از برنامه نوشته شده در محیط MATLAB 7.7 (Math works, Natick, MA) استفاده گردید. تصویربرداری، در فاصله زمانی یک دقیقه در طول دوره فرایند خشک شدن از بالای سینی نمونه ها انجام می گرفت. آنالیز رنگ نمونه ها در طول دوره فرایند خشک شدن با استفاده از تصاویر و الگوریتم طراحی شده ای که در محیط متلب (MATLAB) کدنویسی و پیاده سازی شده است، صورت پذیرفت. در این الگوریتم، تصویر رنگی با فرمت JPEG به عنوان ورودی و مقادیر  $a^*$ ,  $b^*$ ,  $L^*$  به عنوان خروجی در نظر گرفته شدند. قطعه بندی تصاویر یکی از مشکل ترین کارهای پردازش تصویر است. دقت قطعه بندی، احتمال نهایی موقوفیت یا شکست در تحلیل کارهای رایانه ای را تعیین می کند. قطعه بندی تصاویر با هدف جداسازی نمونه ها از سینی، با استفاده از یکی از روش های موجود برای این کار انجام گرفت. روش به کار رفته مبتنی بر حد آستانه  $\alpha$  و براساس روش اتسو  $\beta$  با عمل منطقی که کمترین میزان واریانس میان کلاسی پیکسل های سیاه و سفید تصاویر را به وجود می آورد، است. تمايزدادن دقیق نقاط مرزی بین لبه نمونه ها و سینی از طریق تکنیک اتساع  $\gamma$  و سایش  $\delta$  صورت پذیرفت. عملگرهای باز و بسته

mekanik ماشین های کشاورزی دانشگاه تهران استفاده گردید (Hosseinpour et al., 2011).



شکل ۱. خشک کن آزمایشگاهی استفاده شده: ۱. فن ۲. المنت پیش گرمکنی ۳. المنت های حرارتی ۴. لوله های مستقیم کننده ۵. سنسور سرعت هوا ۶-۷. سنسور های دما ۸. دوربین دیجیتالی ۹. لامپ های فلورسنت ۱۰. صفحه بلطف فرم ۱۱. لود سل ۱۲. واحد کنترل ۱۳. سنسور دمای بیرون ۱۴. HMI ۱۵. کامپیوتر ۱۶. مانیتور ۱۷. صفحه کلید (Hosseinpour et al., 2011).

تصاویر با دوربینی دیجیتالی Canon G9 digital color camera (Japan) که در فاصله  $40 \times 4000 \times 3000$  پیکسل دریافت شد. قرار داشت، با ابعاد  $40 \times 4000 \times 3000$  پیکسل دریافت شد. نور پردازی با دو عدد لامپ فلورسنت که در فاصله ۴۵ سانتی متری نمونه ها و در زاویه ۴۵ درجه قرار گرفته بودند، صورت گرفت. برای تنظیمات شرایط اولیه آزمایش که شامل: تنظیم دما، سرعت هوا، روشن کردن لامپ ها و دوربین، و صفر کردن لودسل بود، از صفحه HMI (FV035ST-C10) استفاده شد تا اجرای گرافیکی دستورها امکان پذیر شود.

در این تحقیق آزمایش ها در پنج سطح دمایی ۵۰، ۶۰، ۷۰، ۸۰، ۹۰ درجه سلسیوس و سه سطح سرعت هوا و رودی ۰/۵، ۱، ۰/۵ متر بر ثانیه انجام گرفت. برای انجام هر مرحله از آزمایش با استفاده از صفحه HMI شرایط لازم هر آزمایش شامل دما و سرعت هوا تنظیم شد. برای رسیدن وضعیت سامانه به حالت پایدار، کلیه آزمایش ها، ۱۰ دقیقه بعد از روشن کردن خشک کن شروع می گردید. سپس ظرف خالی محصول در داخل خشک کن قرار می گرفت و با زدن دکمه طراحی شده در صفحه تنظیمات HMI، وزن نمایشی صفر می شد. این کار به منظور حذف تأثیر نیروی شناوری وارد شده از طرف جریان هوا روی سینی، حذف تأثیر احتمالی دمای هوا بر نیرو سنج، و همچنین حذف وزن سینی نمونه هاست. سپس بار دیگر سینی نمونه ها از

2. Thresholding Based

3. Otsu's Method

4. Dilation

5. Erosion

1. Human-Machine Interface

حداقل‌سازی خطای موجود از الگوریتم یادگیری لونبرگ-مارکوارت<sup>۷</sup> (LM) بر مبنای ماتریس هسین استفاده گردید. فرایند آموزش در شبکه‌های عصبی مصنوعی به کمک داده‌های آموزشی، با ارتباطدادن نرون‌ها در هر دوره آموزش صورت می‌گیرد تا مقادیر پیش‌بینی شده به مقادیر واقعی نزدیک‌تر شود و درنتیجه خطای حاصل از خطای تعیین‌گردیده کمتر شود. از تابع فعل سازی سیگمویدی تائزانت برای لایه‌ها استفاده شد و تعیین تعداد لایه‌های پنهان و تعداد نرون‌ها برای هر لایه معمولاً به روش آزمون و خطا در طول دوره آموزش انجام گرفت. پس از برنامه‌نویسی در محیط نرم‌افزار MATLAB براساس شبکه پرسپترون، با توجه به اینکه پارامترهای رنگی  $L^*$ ,  $a^*$ ,  $b^*$  برای هر تصویر را می‌توان به عنوان ورودی شبکه در نظر گرفت و اختصاص دادن سه نرون برای لایه ورودی شبکه، تعیین تعداد نرون در لایه‌های پنهان، و تعداد لایه پنهان بر مبنای بهترین نتایج خروجی که پیش‌بینی تغییرات محتوای رطوبتی بود، صورت پذیرفت.

**مدل‌سازی با سامانه استنتاج عصبی فازی تطبیقی** سامانه فازی مبتنی بر قواعد منطقی "اگر-آنگاه" است که براساس مفاهیم متغیرهای زبانی و تضمیم‌گیری فازی، فضاسازی لازم را برای نتیجه‌گیری از متغیرهای ورودی به منظور رسیدن به متغیرهای خروجی ایجاد می‌کند. ترکیب این سامانه با شبکه‌های عصبی که نتیجه‌گیری آن براساس اطلاعات ورودی به صورت عددی است، به سامانه استنتاج عصبی فازی تطبیقی می‌انجامد. مزیت اصلی این ایده نسبت به روش‌های معمول، نیاز‌نداشتن به توصیف ریاضی سامانه در حین مدل‌سازی است. علاوه بر این، در مقایسه با روش‌های فازی یا شبکه‌های عصبی فواید هر دو روش را دارد، به طوری که این ایده کم‌بودن حجم محاسبات و راحت‌بودن آموزش را که از مزایای شبکه عصبی است، به سامانه‌های فازی اضافه می‌کند و استنتاج قوی سامانه‌های فازی را به شبکه‌های عصبی می‌افزاید. این مدل‌سازی شامل دو قسمت شناسایی ساختار و شناسایی پارامتر است. مدل‌سازی فازی و روش‌های شبکه عصبی به طور معمول به ترتیب برای این دو بخش به کار می‌روند. اما به طور کلی فرایند مدل‌سازی عصبی فازی، مدل‌سازی فازی و شبکه‌های عصبی را در افزایش سرعت همگرایی، افزایش دقت تخمین، و دیگر مسائل پهلوه می‌بخشد (Castellano *et al.*, 2001). در این روش ترکیبی، بخش فازی، رابطه بین متغیرهای ورودی و خروجی را برقرار می‌کند و مشخصه‌های توابع عضویت بخش فازی و تعیین

یکی از ترکیب‌های متدالو اتساع و سایش‌اند که در این تحقیق از آن‌ها استفاده گردید. از راه‌های موجود برای تبدیل فضای رنگی تصاویر دیجیتالی از RGB به  $L^*a^*b^*$  می‌توان به روش‌های خطی<sup>۱</sup>, نمایی<sup>۲</sup>, مستقیم<sup>۳</sup>, گاما<sup>۴</sup> و شبکه عصبی<sup>۵</sup> اشاره کرد. روش استفاده شده در این تحقیق، گاما بود و برای دریافت اطلاعات از پیکسل‌های تصاویر در فضای رنگی RGB، با روشی دومرحله‌ای ابتدا تصاویر RGB در دامنه [0,1] به فضای XYZ تبدیل شد و سپس، تبدیل از فضای XYZ به فضای  $L^*a^*b^*$  انجام گرفت (Leon *et al.*, 2006).

نتایج به دست‌آمده از مقادیر  $L^*a^*b^*$  بازای هر یک از تصاویر گرفته شده در بازه‌های زمانی یک دقیقه در طول خشک‌شدن نمونه‌ها، به عنوان داده‌های ورودی به سامانه‌های هوش مصنوعی استفاده شد. به منظور کالیبره کردن مقادیر ارزش‌های رنگی استخراجی براساس روش ذکر شده با مقادیر واقعی آن‌ها که از دستگاه رنگ‌سنجدی هاترلب<sup>۶</sup> به دست‌آمد، مطابق با روش ذکر شده به وسیله Leon *et al.* (2006) از دوازده چارت رنگی که همه طیف‌های رنگی را پوشش می‌دادند، استفاده گردید و با عکس‌برداری از آن‌ها در همان شرایط نورپردازی انجام گرفته در زمان خشک‌کردن نمونه‌ها، مقادیر ارزش‌های رنگی با روش مذکور و از طریق دستگاه رنگ‌سنجدی خارج شد و براساس میزان همبستگی به دست آمده بین داده‌های هر دو روش، مقادیر ارزش‌های رنگی برای کل تصاویر مطابق با دستگاه رنگ‌سنجدی کالیبره گردید.

#### مدل‌سازی با شبکه عصبی

به منظور مدل کردن تغییرات محتوای رطوبتی نمونه‌ها در حین خشک‌شدن براساس تغییرات ارزش رنگی آن‌ها، از نرم‌افزار MATLAB نسخه 7.7(R2007a) به منظور طراحی شبکه‌های عصبی مصنوعی استفاده گردید. با معرفی شبکه پرسپترون به وسیله Frank Rosenblatt در سال ۱۹۵۸، استفاده از شبکه‌های عصبی مصنوعی در کاربردهای عملی و در زمینه‌های گوناگون آغاز گردید (Rosenblatt, 1962). در این پژوهش نیز از شبکه پرسپترون چندلایه پیشخور (MLP) استفاده گردید. الگوریتم یادگیری در شبکه عصبی مصنوعی روشی است برای تنظیم بین ضرایب وزن و بایاس در شبکه که تابع خطا را کمینه می‌کند. به منظور سرعت بخشیدن در حیطه آموزش شبکه و

1. linear
2. Quadratic
3. Direct
4. Gamma
5. Neural Networks
6. Hunter Lab Colorimeter

(MAE)، و میانگین خطای بایاس (MBE) که مطابق با روابط ۲ تا ۵ است، استفاده گردید:

$$R^2 = \frac{[\sum_{i=1}^N (P_i - \bar{P})(O_i - \bar{O})]^2}{\sum_{i=1}^N (P_i - \bar{P})^2 \sum_{i=1}^N (O_i - \bar{O})^2} \quad (\text{رابطه } 2)$$

$$\text{RMSE} = \sqrt{\frac{1}{N} \sum_{i=1}^N (P_i - O_i)^2} \quad (\text{رابطه } 3)$$

$$\text{MAE} = \frac{1}{N} \sum_{i=1}^N |P_i - O_i| \quad (\text{رابطه } 4)$$

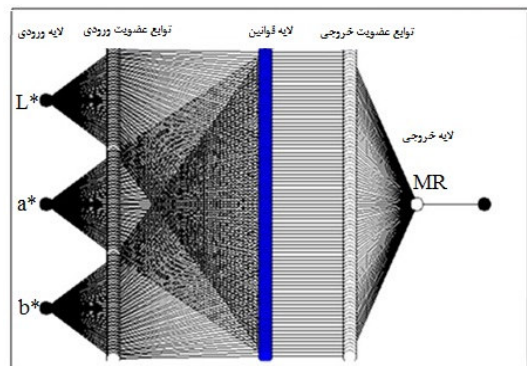
$$\text{MBE} = \frac{1}{N} \sum_{i=1}^N (P_i - O_i) \quad (\text{رابطه } 5)$$

در این روابط  $N$ : تعداد نمونه،  $\bar{P}$ : میانگین مقادیر پیش‌بینی شده به‌وسیله مدل،  $P_i$ : مقادیر پیش‌بینی شده به‌وسیله مدل،  $\bar{O}$ : میانگین مقادیر واقعی، و  $O_i$ : مقادیر واقعی است. هرچه مقدار ضریب تعیین به یک نزدیک‌تر، و مقادیر ریشه میانگین مربعات خطای و میانگین خطای مطلق کوچک‌تر و میانگین خطای بایاس به صفر نزدیک‌تر شود، نتایج مدل طراحی شده بهتر است.

### نتایج و بحث

از آنجا که عوامل متغیر در دستگاه خشک‌کن ابرای اعمال تغییرات در شرایط خشک‌کردن، دما و سرعت جریان هوای خشک‌شدن بودند، پس از انجام آزمایش‌های اولیه مبنی بر تعیین محدوده تغییرات این دو متغیر و با مراجعه به تحقیقات مشابه در حوزه خشک‌کردن سیزیجات و محصولات کشاورزی به‌روش لایه‌نمازک (Nassiri, 2012)، سرانجام بازه ۵۰ تا ۹۰ درجه سلسیوس برای دما و ۰/۵ تا ۱/۵ متربرثانیه برای سرعت جریان هوای خشک‌شدن تعیین گردید. مدت زمان رسیدن نمونه‌ها به نسبت رطوبتی ۰/۵ (نبیم‌خشک‌شدن) و ۰/۱ (خشک‌شدن کامل) برای تیمارهای گوناگون در شکل ۳ نشان داده شده است و اثر تغییرات دما و سرعت جریان هوا بر محتوای رطوبتی در طول مدت زمان خشک‌شدن محصول در شکل ۴ مشهود است. فرایند خشک‌کردن تا رسیدن رطوبت نمونه‌ها به مقدار تعادلی ادامه یافت. رطوبت اولیه نمونه‌ها در ابتدای انجام آزمایش، بین ۷۰ تا ۷۵ درصد (بر پایه تر) بود و در پایان آزمایش به هفت تا ۱۰ درصد رسیدند. در تحقیق انجام‌شده به‌وسیله Temple and Boxtel (2001) که فرایند خشک‌شدن چای برای تولید چای سیاه را بررسی کردند نیز، مقادیر رطوبت اولیه با تحقیق انجام‌شده برابر بود، ولی رطوبت

پارامترهای توابع عضویت به‌وسیله شبکه عصبی تعیین می‌شود (Teshnehlab et al., 1999). استفاده از این سامانه معمولاً به صورت ساختار شبکه‌ای پیشخور و دارای ۵ لایه است (Amiryousefi et al., 2011) (شکل ۲).

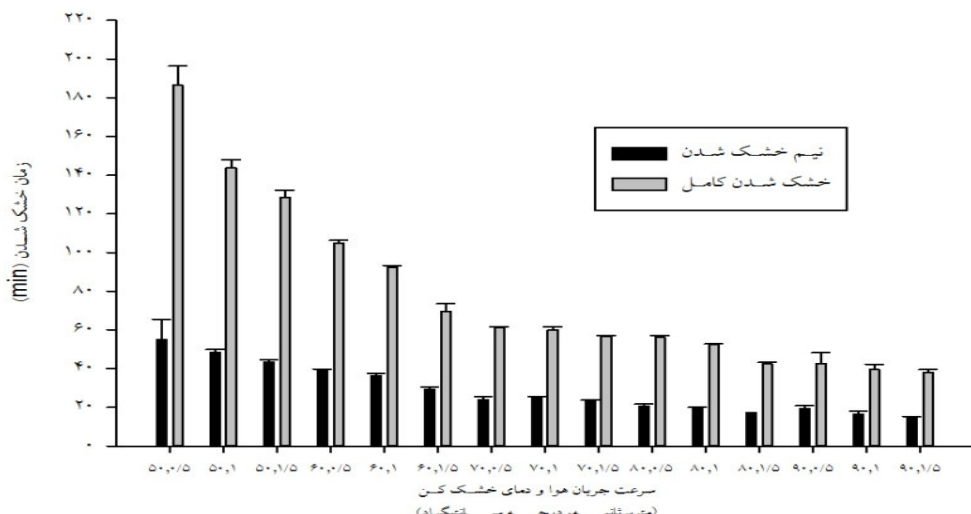


شکل ۲. ساختار فازی عصبی طراحی شده براساس سامانه فازی سوگنو

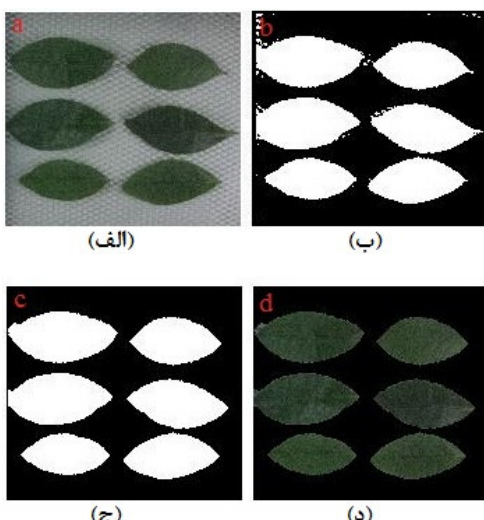
سامانه استنتاج عصبی فازی تطبیقی استفاده شده در این تحقیق، سامانه فازی سوگنو<sup>۱</sup> است و از خصوصیات اصلی آن داشتن خروجی یگانه است. لذا متناسب با تحقیق حاضرست که تغییرات محتوای رطوبتی فقط به عنوان خروجی سامانه مدنظر قرار گیرد. برای طراحی سامانه استنتاج تطبیقی عصبی فازی به منظور مدل کردن تغییرات محتوای رطوبتی نمونه‌ها در حین خشک‌شدن براساس تغییرات ارزش رنگی آن‌ها نیز از نرم‌افزار MATLAB نسخه 7.7(R2007a) استفاده گردید که برای اول براساس پارامترهای ورودی تعیین می‌گردد. توابع عضویت استفاده شده از نوع مثلثی است و قواعد استفاده شده برای آموزش در این سامانه، الگوریتمی ترکیبی از پسانشوار خطای و کاهش مریعات خطای بود که به‌روش هیبریدی نیز مشهور است. اصلاح پارامترهای توابع عضویت خروجی که خطی یا ثابت هستند، با روش کاهش مریعات خطای صورت می‌پذیرد و تعیین پارامترهای توابع عضویت مربوط به ورودی‌ها به علت غیرخطی بودن توابع، با روش پسانشوار خطای انجام می‌گیرد. در بخش آموزش سامانه عصبی، ۸۰ درصد داده‌های مربوط به شرایط خشک‌کردن و ارزش‌های رنگی تصاویر، به یادگیری اختصاص داده شد و ۲۰ درصد به عنوان ارزیابی سامانه آموزش دیده به کار برده شد.

به منظور مقایسه و ارزیابی مدل‌های هوش مصنوعی طراحی گردیده، از چهار شاخص آماری: ضریب تعیین ( $R^2$ )، ریشه میانگین مریعات خطای (RMSE)، میانگین خطای مطلق

1. Sugeno

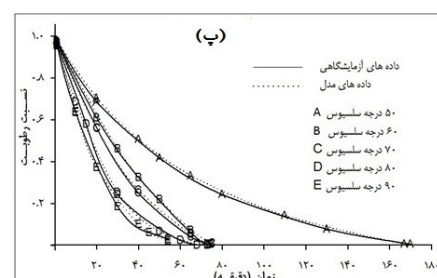
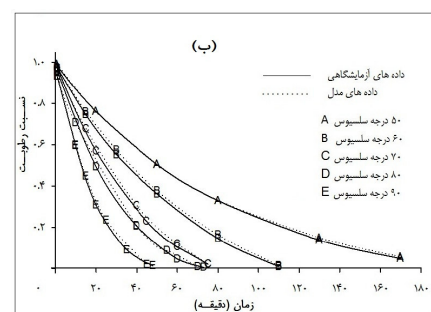
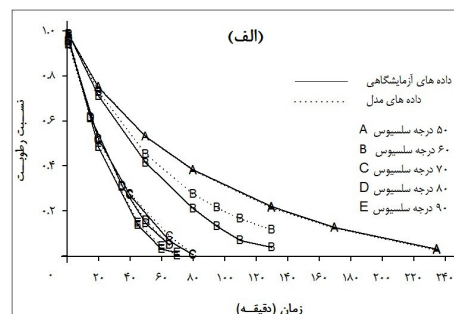


شکل ۳. منحنی تغییرات مدت زمان خشک شدن در سرعت و جریان هوای گوناگون خشک کردن



شکل ۵. مراحل پردازش روی تصاویر نمونه‌ها: (الف) تصویر اولیه، (ب) آستانه‌گذاری به روش اتسو، (ج) استفاده از تکنیک اتساع و سایش، (د) قرارگرفتن نقاط طراحی شده روی تصویر اصلی

نهایی کمتر از مقدار بدست آمده در این تحقیق (دوونیم تا سه درصد بر مبنای تر) است که علت این است که: فرایند خشک کردن در تولید چای سیاه سیز در مدت زمان طولانی تر و دمای کمتر نسبت به چای سیاه انجام می‌گیرد. پردازش تصاویر روی نزدیک به ۱۳۵۰ عکس گرفته شده از نمونه‌ها در شرایط گوناگون خشک شدن و همچنین چارت‌های رنگی صورت پذیرفت (شکل ۵). روابط رگرسیونی بین مقادیر پارامترهای رنگی بدست آمده از دستگاه رنگ‌سنجی و عکس‌های دیجیتالی گرفته شده از چارت‌های رنگی با نرم‌افزار (R2010a) MATLAB 7.10.0 در شکل ۶ ارائه شده است.



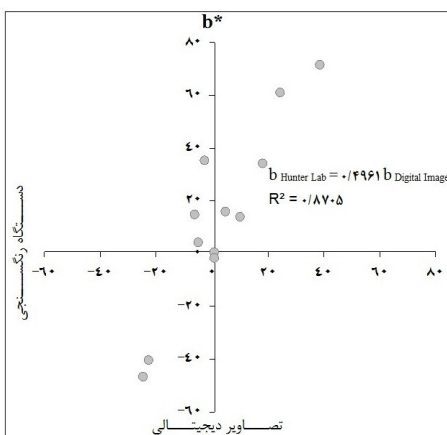
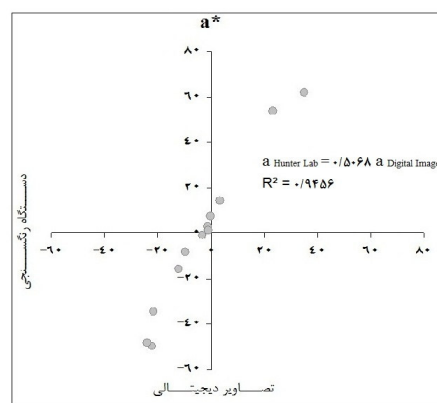
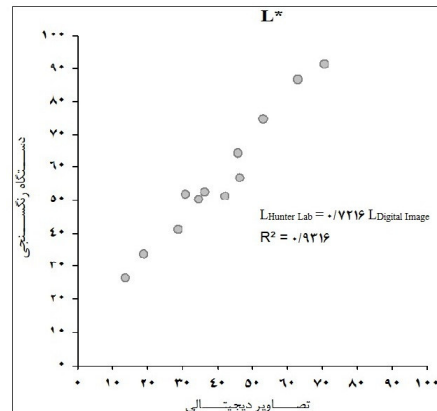
شکل ۴. مقایسه منحنی خشک شدن براساس داده‌های آزمایشگاهی با مدل نیوتونی برتر (میدیابی و همکاران) در سرعت (الف) ۰/۵، (ب) ۱/۵ و (ب) ۱/۵ متربرثانیه در دمای آزمایش شده

پنهان برای لایه اول و دوم به ترتیب: ۱۲ و ۱۵ نرون به دست آمد. در سامانه استنتاج عصبی فازی طراحی شده نیز، تعداد ۵تابع عضویت بهازای هر ورودی به عنوان بهترین نتیجه به دست آمد. با توجه به اینکه از سه ورودی در این سامانه استفاده شده است، با درنظر گرفتن سه متغیر بهازای هر تابع عضویت (از نوع مثلثی) در مجموع ۴۵ پارامتر غیرخطی تعریف گردید. قوانین فازی، که در این سامانه برابر با ۱۲۵ قانون و با داشتن چهار پارامتر در روابط فازی تعريف شده بهازای هر قانون است، در مجموع ۵۰۰ پارامتر خطی تعیین گردید. نتایج حاصل از محاسبه مقادیر پارامترهای آماری در جدول ۱ آمده است و نزدیکی مقادیر خروجی سامانه طراحی شده برتر با مقادیر به دست آمده از آزمایش برای محتوا رطوبتی در یکی از آزمایش ها، در شکل ۷ نشان داده شده است.

جدول ۱. نتایج حاصل از مقایسه مدل های طراحی شده

نام شبکه	MBE	MAE	RMSE	R <sup>2</sup>
با یک لایه پنهان	-۰/۰۰۳۷۱	۰/۰۷۷۹۶	۰/۱۰۰۱۰۳	۰/۹۳۷۵۰۴
با دو لایه پنهان	-۰/۰۰۴۴۷	۰/۰۶۸۰۷۸	۰/۰۹۱۸۴۹	۰/۹۴۷۷۵۱
ANFIS	-۰/۰۰۳۵۷	۰/۰۷۷۴۰۵	۰/۱۱۷۸۵۶	۰/۹۱۴۱

با محاسبه شاخص های آماری برای مقادیر پیش بینی شده با سامانه های هوش مصنوعی طراحی شده، شبکه عصبی مصنوعی با دو لایه پنهان با دقت بهتری نسبت به سایر سامانه ها، در پیش بینی سینتیک خشک شدن براساس پارامترهای رنگی نمونه ها به دست آمد. در تحقیق صورت گرفته بر سینتیک خشک شدن هویج که مقایسه میزان دقت پیش گویی بین شبکه عصبی مصنوعی و الگوریتم رنتیک بود نیز، بهترین نتایج را شبکه عصبی مصنوعی طراحی شده به دست آورد (Erenturk & Erenturk, 2007). در بررسی سینتیک خشک شدن کاساو اکراکرس که براساس مدل های مکانیکی و سامانه های هوش مصنوعی شبکه عصبی و استنتاج فازی عصبی تطبیقی صورت پذیرفت، بار دیگر شبکه عصبی مصنوعی با بهترین دقت شناخته شد (Lertworasirikul, 2008). از آنجا که در مطالب گذشته، به این موضوع اشاره گردید که سامانه عصبی فازی نسبت به شبکه های عصبی مصنوعی دقت بالاتر و قدرت تخمين بهتری دارند، در این تحقیق با اینکه نتایج به دست آمده از تخمین خروجی سامانه (محتوا رطوبتی) بسیار به هم نزدیک بود، اما سامانه عصبی فازی به مقدار اندکی نسبت به شبکه های عصبی مصنوعی ضعیفتر عمل کرده است و علت را باید در روش فازی استفاده شده برای سامانه عصبی فازی جستجو کرد. در سامانه فازی سوگنوی استفاده شده، برخلاف روش دیگر فازی، یعنی ممدانی (که دارای خروجی شامل مجموعه ها و



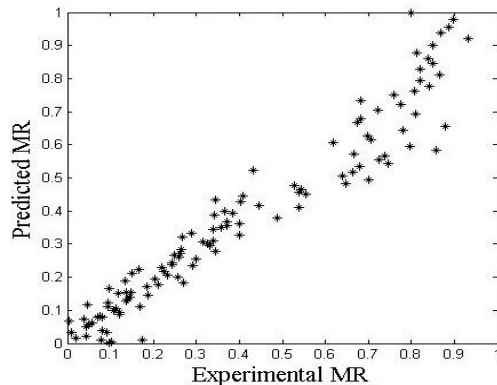
شکل ۶. برآورد مقادیر ارزش های رنگی استخراجی از دستگاه رنگ سنجی و روش تبدیل RGB به L\*, a\* و b\*

پس از کالیبره کردن داده های ارزش رنگی تصاویر (روشنایی L\*, قرمزی a\*, و زردی b\*) با مدل های خطی به دست آمده (شکل ۶)، از آن ها به عنوان ورودی در شبکه عصبی مصنوعی استفاده گردید. در برایان بهترین نتایج برای تعداد نرون در لایه های پنهان در شبکه های عصبی مصنوعی طراحی شده با یک لایه پنهان برابر ۲۷ نرون و همچنین برای مدل سازی با دو لایه

### نتیجه‌گیری

در این پژوهش امکان‌سنجی استفاده از پردازش تصاویر برگرفته از نمونه‌های برگ چای سبز در حین خشکشدن در پیش‌بینی روند تغییرات محتوای رطوبتی آن‌ها بررسی گردید. بهمنظور کاهش هزینه‌های آزمایش برای استخراج ارزش‌های رنگی تصاویر، از روش کالیبره کردن داده‌های تصاویر دیجیتالی با دستگاه رنگ‌سنجی استفاده گردید. شبکه‌های هوش مصنوعی و استنتاج عصبی فازی تطبیقی در این تحقیق به کار برده شد و همچنین میزان دقت هر یک در تعیین بهترین خروجی سامانه از نظر نزدیکی به مقدار واقعی محتوای رطوبتی اندازه‌گیری شده در آزمایش‌ها، به دست آمد. سرانجام، شبکه عصبی مصنوعی طراحی شده با دو لایه پنهان شامل ۱۲ نرون در لایه اول و ۱۵ نرون در لایه دوم، با ضریب تعیین  $0.948 \pm 0.092$  و مجدد میانگین مربعات خطای  $0.0092 \pm 0.0009$ ، بهترین نتایج را در پیش‌بینی روند تغییرات محتوای رطوبتی برگ‌های چای سبز در حین خشکشدن با استفاده از داده‌های پارامترهای رنگی به دست آورد.

روابط فازی است)، خروجی طراحی شده در محیط برنامه‌نویسی MATLAB به صورتتابع ریاضی درجه صفر و یا حداقل درجه اول است و نسبت به شبکه‌های عصبی که آموزش و نحوه ارتباطدادن داده‌های ورودی و خروجی براساس روابط پیشرفته ریاضی است، ضعیفتر عمل می‌کند.



شکل ۷. مقایسه خروجی شبکه عصبی مصنوعی طراحی شده با دو لایه پنهان با مقادیر به دست آمده در یکی از آزمایش‌ها

### نمادها

$a^*$	ارزش رنگی سبزی به قرمزی	نسبت رطوبت
$b^*$	ارزش رنگی آبی به زردی	تعداد مشاهدات
$L^*$	ارزش رنگی روشنایی و تیرگی	میانگین مقادیر واقعی اندازه‌گیری شده
M	d.b. رطوبت در لحظه جاری	مقادیر واقعی اندازه‌گیری شده
$M_0$	kg water/kg dry matter رطوبت اوایله	میانگین مقادیر تخمین به وسیله هوش مصنوعی
$M_e$	kg water/kg dry matter رطوبت تعادلی	مقادیر تخمین به وسیله هوش مصنوعی
MAE	میانگین خطای مطلق	ضریب تعیین
MBE	میانگین خطای با پاس	ریشه میانگین مربعات خطای داده‌ها
RMSE		

### REFERENCES

- Amiryousefi, M.R., Mohebbi, M., Khodaiyan, F., and Asadi, S. (2011). An empowered a using self-organizing map clustering to predict mass transfer kinetics in deep-fat frying of ostrich meat plates. *Journal of Computers and Electronics in Agriculture*, 76, 89–95.
- AOAC. (1990). Official method of analysis. Association of Official Analytical Chemists (No. 934.06). Arlington, VA.
- Cakmak, G and Yildiz, C. (2011). The prediction of seedy grape drying rate using a neural network method. *Journal of Computers and Electronics in Agriculture*, 75, 132–138.
- Castellano, G., and Fanelli, A.M., (2001). A self-organizing neural network inference network. University dehlí Studi di Bari, Dipartimento di Informatica, Via E. Orabona, 4-70126 Bari-ITALY.
- Erenturk, S., and Erenturk, K., (2007). Comparison of genetic algorithm and neural network approaches for the drying process of carrot. *Journal of Food Engineering*, 78, 905-912.
- Hosseinpour, S., Rafiee, S., and Mohtasebi, S.S., (2011). Application of Image Processing to Analyze Shrinkage and Shape Changes of Shrimp Batch during Drying. *Journal of Drying Technology*, 29(12), 1416-1438.
- Jayas, D.S., Cenkowski, S., Pabis, S., and Muir, W.E., (1991). Review of thin layer drying and wetting equations. *Journal of Drying Technology*, 9(3), 551-588.
- Leon, K., Mery, D., Pedreschi, F., and Leon, J. (2006). Color measurement in  $L^*a^*b^*$  units from RGB digital image. *Food Research International*, 39(10), 1084–1091.
- Lertworasirikul, S. (2008). Drying kinetics of semi-finished cassava crackers: A comparative study. *Food Science and Technology*, 41, 1360–1371.
- Mohebbi, M. Akbarzadeh Totonchi, M.R. Shahidi, F., and Pourshahabi, M.R. (2007). Investigate the possibility of machine vision and artificial neural

- networks in predicting moisture content of dried shrimp. In: Proceeding of the 4th Conference on machine vision and image processing, 13-14 feb, ferdowsi university of mashhad, Iran.
- Moj news agency (Social groups). (2010). Review the status of the country's tea industry. info@ mojnews.com. (In farsi)
- Najafi, A., Shokrani, R., shahedi, M., and Nori, L. (2006). Evaluate possibility of green tea beverage produced from the sheet of green tea. *Iranian Food Science and Technology Research Journal*, 4(2), 1-11.
- Nassiri, A. (2012). Effect of drying temperature and air velocity on the quantity of essential oil extracted from Garden Thyme (*Thymus vulgaris* L.) and Peppermint (*Mentha piperita* L.). M.Sc. dissertation. University of Tehran. (In Farsi).
- Rosenblatt, F. (1962). Principles of neurodynamics: perceptrons and the theory of brain mechanisms. 616 pages. Spartan Books.
- Temple, S.J and Boxtel, A.J.B. (2001). Automatic Endpoint Determination for Batch Tea Dryer. *Journal of Agriculture Engineering*, 58, 51-56.
- Teshninelab, M., Saffarpour, N., and Afyouni, D. (1999). Fuzzy systems and fuzzy control. Compilation by Wang, L. K. N. Toosi University of Technology Publications. Tehran. (In farsi)